

완전한 형태의 랜덤한 덧셈-뺄셈 체인의 암호분석

한동국*, 장남수*, 정석원*, 박영호**, 김창한***

*고려대학교, 정보보호학과, **세종사이버대학교, 정보보호시스템공학과,
***세명대학교, 정보보호학과

Cryptoanalysis of the Full version Randomized Addition-Subtraction Chains

Dong-Guk Han*, Nam Su Chang*, Seok Won Jung*,
Young-Ho Park**, Chang Han Kim***

*Center for Information and Security Technologies(CIST), KOREA Univ., **Dept of Information Security, Sejong Univ., ***Dept. of Information Security, Semyung Univ.

요약

Okeya-Sakurai는 [12]에서 단순한 형태의 랜덤한 덧셈-뺄셈 체인의 대응방법[14]은 SPA 공격에 취약함을 보였다. 그러나 그들의 분석 방법은 복잡한 형태[14]에는 적용되지 않는다. 본 논문에서는 Okeya-Sakurai의 공격 알고리즘에 두 가지 잠재된 문제가 있음을 보인다. 또한 [12,15]와는 다른 강하고 견고한 새로운 공격 알고리즘을 제안한다. 본 논문에서 제안하는 공격 알고리즘을 사용하면 복잡한 형태의 랜덤한 덧셈-뺄셈 체인 [14] 또한 완벽하게 분석된다. 본 논문의 결과를 표준에서 제안된 163비트로 실험한 결과 단순한 형태에서는 20개의 AD수열로 대략 94%의 확률로 공격이 성공하며 30개의 AD수열로는 대략 99%의 확률로 공격이 성공한다. 또한, 복잡한 형태에서는 40개의 AD수열로 94%의 확률로 70개의 AD수열로는 99%로의 확률로 공격이 성공한다.

I. 서론

타원곡선 이론을 이용한 공개키 암호시스템(ECC)은 Kobitz[5]와 Miller[9]에 의해 처음으로 제안되었다. 타원곡선은 이산대수문제를 기반으로 하는 공개키 암호시스템이며 다른 암호시스템과 비교하여 작은 키 사이즈로 같은 안전성을 보장한다. 작은 키 사이즈를 가지는 ECC는 저전력으로 구현이 되는 스마트 카드와 같은 장비에 잘 적용된다. 또한 최근에 [7]에서 암호시스템이 구현된 스마트 카드의 부채널 공격 방법이 소개되었다. 암호시스템의 부채널 공격 방법으로는 적절한 계산 타이밍 또는 전력 소비량 분석이 있다. 이 두 가지 다른 전력 분석법을 SPA와 DPA라 하며 보호되지 않은 타원곡선 암호시스템에서 스칼라 곱셈 시에 효과가 있다. 전력분석 공격이 타원곡선 암호시스템에 적용되는 기본적인 개념은 Coron에 의하여 [1]에서 소개 되었다. [1]에서 Coron에 의

해 소개된 세 가지 전력 분석 공격의 대응방법: 비밀키의 랜덤화, 점의 Blinding, 그리고 사영좌표계의 램덤화이다. 그러나 [11]에서 Okeya-Sakurai는 Coron의 첫 번째와 세 번째 DPA 공격 대응 방법은 약간의 문제가 있음을 논했다. 또한, Goubin은 [2]에서 소개된 Coron의 세 번째 전력 분석 공격 대응방법을 적용하여도 전력분석 공격이 가능함을 보였다. SPA에 안전한 두 가지 접근방법으로는 덧셈과 두 배 연산을 구별 불가능하게 하는 방법과 덧셈과 두 배 연산을 항상 수행하는 방법이다.

[14]에서 Oswald는 Morain과 Olivos가 제안한 랜덤한 덧셈-뺄셈 체인을 이용하여 이진 스칼라 알고리즘 자체를 랜덤화하는 두 개의 랜덤화된 오토마타를 DPA 대응방법으로 제시하였다. 그러나 Okeya-Sakurai는 [12]에서 랜덤한 덧셈-뺄셈 체인이 SPA 공격에 취약함을 보였다. 그러나 그들은 방법은 단순한 오토마타에만 적용이 가능하다.

본 논문에서는 Okeya-Sakurai 공격방법은 공격자가 비밀값 d 의 길이를 알아야한다는 것과 무한원점 연산에서 문제점을 가지고 있음을 제시한다. 또한 미해결 문제로 남아있던 복잡한 버전의 공격이 가능한 강하고 견고한 새로운 공격방법을 제안한다.

II. [12]에서 제안된 알고리즘에서 고려할 사항

Okeya-Sakurai는 [14]의 단순 버전 알고리즘이 덧셈과 뺄셈의 구별 불가능하다는 조건[12]하에도 SPA공격에 취약함을 보였다. 그들의 공격 알고리즘은 $state=0$ 에서 $d_i=0$ 이라는 사실을 사용하였다. 그러나 복잡한 버전에서 더 이상 $state=0$ 에서 $d_i=0$ 이 아니다. 따라서 복잡한 버전에서 SPA 공격은 해결되지 않은 문제로 남겨져있다. Okeya-Sakurai의 공격 알고리즘은 세 가지 과정으로 간주된다; 스칼라 d 의 비트값 결정, AD수열의 자리의 결정, $state$ 정보의 결정이다.

그러나 그들의 공격 알고리즘[12]은 다음과 같은 두 가지 잠재된 문제가 있다.

□ 공격자는 비밀값 d 의 비트의 길이를 알아야 한다 : 공격 알고리즘에서 $|d|$ 의 비트 길이가 [12]의 (a)단계에서 항상 제외되어 사용되었다. 본 문제는 공격자에게 두 배 연산으로부터 덧셈을 쉽게 구별할 수 있도록 한다. 스칼라 d 의 모든 비트는 두 배 연산을 수행한다. 이것은 두 배 연산의 연산수가 고정되어 있음을 의미한다. 따라서 두 배 연산의 수는 스칼라 d 의 비트길이이다.

□ 그들은 점들의 덧셈에서 점들 중의 하나가 무한원점이라는 사실을 간과했다. : 스칼라 곱셈 dP 의 구현에서 $Q=2*O$, $Q=P+O$ 의 특별한 점들의 연산을 피할 수 있다. 일반적으로 덧셈 혹은 두 배 연산 대신에 점의 복사 등의 방법이 사용되었다. 점의 덧셈에서 점들 중의 하나가 무한원점이라는 사실을 간과한데 있다.

III. 랜덤한 덧셈-뺄셈 체인 대응방법의 분석

단순전력공격에서 공격자는 하나의 스칼라 곱셈의 전력 소비량을 관찰할 수 있음을 가정한다. 공격자의 목표는 완전한 스칼라 곱셈의 전력 트레이스의 관찰로부터 얻은 정보를 이용하여 키를 찾는 것이다. 스칼라 곱셈은 점의 덧셈, 뺄셈 그리고 두 배 연산의 수열로 간주된다. 점의 덧셈 연산은 두

배 연산과는 다른 전력 소비 패턴을 가진다. 점의 덧셈과 뺄셈은 거의 같은 연산이므로 공격자가 구별하는 것이 불가능하도록 구성될 수 있다. 본 논문에서는 점의 덧셈과 두 배가 어느 시점의 전력 소비량 분석에 의하여 구별될 수 있음에 반하여, 점의 덧셈과 뺄셈은 구별 불가능하다. 앞으로는 덧셈과 뺄셈 연산을 덧셈이라 간단히 명명한다. Oswald -Aigner[14]에 의해 제안된 랜덤한 덧셈-뺄셈 체인(Addition-Subtraction chain)에서 스칼라 d 의 각자리의 0과 1 둘다 덧셈(두 배) 연산에 대응되므로 연산 시 발생하는 전력 소비량의 측정과 비트의 결정과의 관계가 좀더 난해해졌다. 다시 말하면, d 의 자리가 1(또는 0)일때 어떤 경우에는 덧셈 연산을 하고 또 어떠한 경우에는 두 배 연산을 수행할 것이다. 따라서 [12]에서 Okeya-Sakurai는 랜덤한 오토마타 1을 분석하였으나 랜덤한 오토마타1의 복잡한 형태인 랜덤한 오토마타 2에는 공격이 적용되지 않는다.

그러나 본 논문에서는 전력 소비량 측정에 의한 비트와 연산의 새로운 필요충분조건 관계를 제안한다. 스칼라 곱셈의 전력 소비량의 측정값 n 을 사용하여 스칼라 d 를 이 관계를 사용하여 어떻게 찾아내는지 보일 것이다. 우리가 제안하는 공격 알고리즘은 이전에 묘사된 취약한 점을 제거하였고, 랜덤한 오토마타 2에 직접 적용된다.

□ Notation : S 를 AD수열이라 하면; 수열은 덧셈(Addition) A 와 두배(Doubling) D 로 간주된다. $S_i[k]$ 는 i 번째 수열의 k 번째 값을 뜻하며 $S_i[k_i, n_i]$ 은 i 번째 수열의 k_i 번째부터 연속된 n_i 개의 값을 뜻한다. $|S|$ 는 A, D 문자의 수이며 비어있는 $S_i[k]$ 는 $S_i[k]=NULL$ 이라 한다.

1. 랜덤한 덧셈-뺄셈 체인 대응방법의 특징

본 소절에서는 Oswald-Aigner가 제안[14]한 랜덤한 덧셈-뺄셈 체인의 특성을 살펴보자. 우리는 제안된 표 1, 2, 3으로부터 키의 비트와 AD수열값의 관계를 유도한다.

□ 가정 : 공격자는 랜덤화된 덧셈-뺄셈 체인 대응방법이 적용된 암호화 장비에 타원곡선의 점을 입력하고 AD수열을 얻는다. 공격자는 n 번의 반복 수행에서 n 개의 AD수열을 얻는다. 본 논문에서는 Okeya-Sakurai의 [12]에서의 표기법을 따른다.

■ Property 1. 만약 모든 i 에 대해 $S_i[k_i] = A, S_i[l_i] = D$ ($0 \leq l_i \leq k_i - 1$)이고 어떤 i_2, i_3 에 대

하여 $S_{i_2}[k_{i_2}+2]=A$, $S_{i_3}[k_{i_3}+2]=D$ 이면 $d_{j-1}=1$, $d_j=1$, 그리고 $\{d_0, \dots, d_{j-2}\}$ 는 $j>1$ 일때 모두 0이다.

■ **Property 2.** 만약 모든 i_1 에 대해 $S_{i_1}[k_{i_1}]=A$, $S_{i_1}[l]=D$ ($0 \leq l \leq k_{i_1}-1$)이고 모든 $i_2(i_3)$ 에 대하여 $S_{i_2}[k_{i_2}+2]=A$ (또는 $S_{i_3}[k_{i_3}+2]=D$)이면 $d_{j-1}=0$, $d_j=1$ 이다. 만약 $j=2$ 이면 $d_0=1$ 이고 그렇지 않으면 단하나만 $d_i=1$ ($0 \leq i \leq j-2$) 이고 나머지는 모두 0이다.

이 두 가지 성질은 점의 덧셈에서 하나의 점이 무한원점인 경우에서 유도된다. P가 무한원점이고 다음 비트가 1인 경우 덧셈 연산은 수행되지 않고 단지 두 배 연산만 수행된다.

■ **Theorem 1.** 만약 현재 state=0 또는 state=110일 때 키의 비트 $d_i=0$ 일 필요충분조건은 모든 i_1 에 대해 $S_{i_1}[k_{i_1}]=D$ 일 때 이다.

■ **Theorem 2.** 만약 현재 state=0 또는 state=110일 때 키의 비트 $d_i=1$ 일 필요충분조건은 모든 i_1 에 대해 P가 무한원점이 아닐 때 $S_{i_1}[k_{i_1}]=A$ 이다.

d_{j-2}, d_{j-1}	d_j, d_{j+1}	AD sequence	Probability	
11 or 01	11	DAAD	1/4	
		DDA	1/8	
		DD	1/8	
		ADDA	1/8	
		ADD	1/8	
		ADAD	1/4	
	10	DAD	1/2	
		ADAD	1/4	
		ADD	1/4	
		01	ADAD	1/2
			DAD	1/2
		00	ADD	1/2
DD	1/2			

표 1. 연속된 비트가 11 또는 01일 때의 AD수열

표 1.은 이전의 연속된 비트가 11 또는 01이며 무한원점의 아닐 때 d_j, d_{j+1} 의 계산 후의 AD수열과 확률값을 나타낸 것이다.

■ **Property 3.** 만약 어떤 i_1, i_2 에 대해 $S_{i_1}[k_{i_1}]=D$ 와 $S_{i_2}[k_{i_2}]=A$ 이면 이전의 두 비트는 $d_{j-2}=1$, $d_{j-1}=1$ 이거나 또는 $j-2$ 번째 state=110일 때 $d_{j-2}=0$, $d_{j-1}=1$ 이다.

■ **Theorem 3.** 만약 어떤 i_1, i_2 에 대해 $S_{i_1}[k_{i_1}]=D$ 와 $S_{i_2}[k_{i_2}]=A$ 일 필요충분조건은 이전의 두 비트는 $d_{j-2}=1$, $d_{j-1}=1$ 이거나 또는 $j-2$ 번째 state=110일 때 이전의 두 비트는 $d_{j-2}=0$, $d_{j-1}=1$ 일 때이다. 필요한 상태의 오류 확률은 $(2/3)^n$ 보다 작을 때이다.

d_{j-2}, d_{j-1}	d_j, d_{j+1}, d_{j+2}	AD sequence	Probability
11 or 01	111	ADDAAD	1/8
		ADDDA	1/16
		ADDD	1/16
		ADADDA	1/16
		ADADD	1/16
		ADADAD	1/8
		DAADDA	1/16
		DAADD	1/16
		DAADAD	1/8
		DDAAD	1/8
		DDDA	1/16
		DDD	1/16
	110	ADDAD	1/4
		ADADAD	1/8
		ADADD	1/8
		DAADAD	1/8
		DAADD	1/8
		DDAD	1/4

표 2. 연속된 비트가 11 또는 01이며 $d_j=1$ 일때 AD수열

$d_{j-3}, d_{j-2}, d_{j-1}$	d_j, d_{j+1}	AD sequence	Probability
110	11	ADAD	2/3
		ADDA	1/6
		ADD	1/6
	10	ADD	2/3
		ADAD	1/3
	01	DAD	1
	00	DD	1

표 3. 연속된 비트가 110일때 AD수열

2. 제안하는 공격 알고리즘

공격자는 랜덤한 덧셈-뺄셈 체인 대응방법이 적용된 암호화 장비에 타원곡선의 점을 입력하고 AD수열을 얻는다. 공격자는 n번의 반복 수행에서 n개의 AD수열을 얻고, 아래와 같이 비밀값 d를 획득한다.

본 논문에서 제안하는 알고리즘은 두 과정으로 분류된다. 한 과정은 비밀값 d 의 비트들을 결정하는 것이고, 또 다른 과정은 S 의 값의 위치를 결정하는 것이다. 본 공격 알고리즘은 Okeya-Sakurai의 것과 달리 state의 정보를 필요로 하지 않는다.

■ 랜덤화된 오토마타 2의 공격 알고리즘 : 랜덤한 오토마타2의 공격 알고리즘은 다음 4가지 알고리즘으로 구성된다.

-초기화 : $k_i=0$ 이고 $j=0$ 이며; 키 검출 알고리즘을 수행한다. k_i 는 AD수열의 위치와 관련이 있고 j 는 스칼라 d 의 비트와 관련이 있다.

키 검출 알고리즘 0

- ▶ 만약 어떤 i_1 에 대하여 $S_{i_1}[k_{i_1}] = \text{NULL}$ 이면 $d_j=1$, 나머지 비트는 0으로 설정되며 알고리즘 종료
- ▶ 만약 모든 i_1 에 대하여 $S_{i_1}[k_{i_1}] = A$ 이고 어떤 i_2 에 대하여 $S_{i_2}[k_{i_2}+2] = \text{NULL}$ 이면 $d_j=1$ 이고 $d_r = 0 \leq l \leq j-1$ 에서 하나만 1이고 나머지는 0이다. j 번의 조사를 통해 d_r 을 결정, 알고리즘 종료
- ▶ 만약 모든 i_1 에 대하여 $S_{i_1}[k_{i_1}] = D$ 이면 $j-j+1$, 모든 i 에 대해 $k_r \leftarrow k_i + 1$, 알고리즘0 수행
- ▶ 만약 모든 i_1 에 대하여 $S_{i_1}[k_{i_1}] = A$ 이고
 - 만약 어떤 i_2 와 i_3 에 대하여 $S_{i_2}[k_{i_2}+2] = A$ 이고 $S_{i_3}[k_{i_3}+2] = D$ 이면 $d_{j-1}=1, d_j=1, j>1$ 에 대해 $\{d_0, \dots, d_{j-2}\}$ 는 모두 0, $j-j+1$ 모든 i 에 대해 $k_r \leftarrow k_i + 2$, 알고리즘1-1 수행
 - 아니면 $d_{j-1}=0, d_j=1$. 만약 $j=2$ 이면 $d_0=1$, 아니면 $d_r = 0 \leq l \leq j-2$ 에서 하나만 1이고 나머지는 0이다. $j-1$ 번의 조사를 통해 d_r 을 결정, $j-j+1$, 모든 i 에 대해 $k_r \leftarrow k_i + 2$, 알고리즘1 수행

키 검출 알고리즘 1

- ▶ 만약 어떤 i_1 에 대하여 $S_{i_1}[k_{i_1}] = \text{NULL}$ 이면 $d = \sum_{k=0}^{i-1} d_k 2^k$ 이며 알고리즘 종료
- ▶ 만약 모든 i_1 에 대하여 $S_{i_1}[k_{i_1}] = D$ 이면 $d_j=0, j-j+1$; 모든 i 에 대해 $k_r \leftarrow k_i + 1$, 알고리즘1 수행
- ▶ 만약 모든 i_1 에 대하여 $S_{i_1}[k_{i_1}] = D$ 이면 $j-j+1$, 모든 i 에 대해 $k_r \leftarrow k_i + 1$, 알고리즘1 수행
- ▶ 아니면
 - 만약 모든 i_1 에 대하여 $S_{i_1}[k_{i_1}] = A$ 이면 $d_j=1, j-j+1$, 모든 i 에 대해 $k_r \leftarrow k_i + 2$, 알고리즘1 수행
 - 아니면 알고리즘 1-1 수행

키 검출 부분 알고리즘 1-1

- ▶ 만약 어떤 i_1 에 대하여 $S_{i_1}[k_{i_1}] = \text{NULL}$ 이면 $d = \sum_{k=0}^{i-1} d_k 2^k$ 이며 알고리즘 종료
- ▶ 만약 어떤 i_2 에 대하여 $S_{i_2}[k_{i_2}+2] = \text{NULL}$ 이면 $d_j=1$ 이고 $d = \sum_{k=0}^{i-1} d_k 2^k$ 이며 알고리즘 종료
- ▶ 만약 모든 i_1, i_2 에 대해 $S_{i_1}[k_{i_1}, 3] = \text{DAA}$ 이고 $S_{i_2}[k_{i_2}, 5] = \text{NULL}$ 이면 $d_j=1, d_{j+1}=1$ 이고 $d = \sum_{k=0}^{i-1} d_k 2^k$ 알고리즘 종료.
- ▶ 만약 어떤 i_1 에 대해 $S_{i_1}[k_{i_1}, 3] = \text{DAA}$ 이면
 - 만약 어떤 i_2 에 대해 $S_{i_2}[k_{i_2}, 4] = \text{DDAD}$ 또는 $S_{i_2}[k_{i_2}, 5] = \text{ADDA}$
 - D이면; $d_j=1, d_{j+1}=1, d_{j+2}=0$ 이고 $j-j+1$, 모든 i 에 대해 $S_{i_1}[k_{i_1}, 4] = \text{DDAD}$ 이면 $k_r \leftarrow k_i + 4$, 모든 i 에 대해 $S_{i_1}[k_{i_1}, 5] = \text{DAADD}, \text{ADDAD}$, 또는 ADADD 이면 $k_r \leftarrow k_i + 5$, 다른 경우이면 $k_r \leftarrow k_i + 6$, 부분 알고리즘1-1 수행
 - 아니면 $d_j=1, d_{j+1}=1 (d_{j+2}=1), j-j+2$; 만약 모든 i 에 대해 $S_{i_1}[k_{i_1}, 3] = \text{DDD}$ 이면 $k_r \leftarrow k_i + 2$, 만약 모든 i 에 대해 $S_{i_1}[k_{i_1}, 3] = \text{DDA}$ 또는 $S_{i_1}[k_{i_1}, 4] = \text{ADDD}$ 이면 $k_r \leftarrow k_i + 3$ 다른 경우이면 $k_r \leftarrow k_i + 4$ 부분 알고리즘 1-1 수행
 - ▶ 아니면
 - 만약 어떤 i_2 에 대해 $S_{i_2}[k_{i_2}, 3] = \text{DAD}$ 이면
 - 만약 어떤 i_2 에 대해 $S_{i_2}[k_{i_2}, 3] = \text{ADD}$ 이면 $d_j=1, d_{j+1}=0, j-j+2$; 모든 i 에 대해 $S_{i_1}[k_{i_1}, 4] = \text{ADAD}$ 이면 $k_r \leftarrow k_i + 4$, 다른 경우이면 $k_r \leftarrow k_i + 3$, 부분 알고리즘 1-2 수행
 - 아니면 $d_j=0, d_{j+1}=1, j-j+2$; 모든 i 에 대해 $S_{i_1}[k_{i_1}, 3] = \text{DAD}$ 이면 $k_r \leftarrow k_i + 3$, 다른 경우이면 $k_r \leftarrow k_i + 4$; 부분 알고리즘 1-1 수행
 - 아니면 $d_j=0, d_{j+1}=0, j-j+2$; 모든 i 에 대해 $S_{i_1}[k_{i_1}, 2] = \text{DD}$ 이면 $k_r \leftarrow k_i + 2$, 다른 경우이면 $k_r \leftarrow k_i + 3$; 알고리즘 1 수행

키 검출 부분 알고리즘 1-2

- ▶ 만약 어떤 i_1 에 대하여 $S_{i_1}[k_{i_1}] = A$ 이면; $d_j=1, j-j+1$; 모든 i 에 대해 $k_r \leftarrow k_i + 2$, 부분 알고리즘 1-1 수행.
- ▶ 만약 모든 i_1 에 대하여 $S_{i_1}[k_{i_1}] = D$ 이면 $d_j=0, j-j+1$; 모든 i 에 대해 $k_r \leftarrow k_i + 1$, 알고리즘1 수행
- ▶ 만약 모든 i_1 에 대하여 $S_{i_1}[k_{i_1}] = D$ 이면 $j-j+1$, 모든 i 에 대해 $k_r \leftarrow k_i + 1$, 알고리즘1 수행
- ▶ 아니면; $d_j=0, j-j+1$; 모든 i 에 대해 $k_r \leftarrow k_i + 1$, 알고리즘 1 수행.

2. 구현 결과

본 논문의 공격 알고리즘을 랜덤화된 오토마타 1과 2에 적용하였다. 표준에서 제안된 163비트에 적용한 구현 결과는 그림1과 같다. 그림1로부터

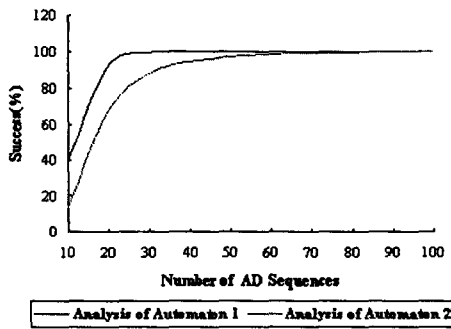


그림 1 랜덤한 오토마타 1과 2의 비교

단순한 오토마타 1은 AD수열 20개와 30개로 각각 대략 94%와 99%의 확률로 공격이 성공한다. 그리고 복잡한 오토마타 2는 AD수열 40개와 70개로 각각은 대략 94%와 99%의 확률로 공격이 성공한다. 예를 들어 AD수열 30개로의 99%의 성공 확률은 공격자가 같은 비밀값에 대하여 AD수열 30개로 100번을 반복하였을 때 대략 99번 비밀값을 검출할 수 있음을 뜻한다. 우리는 실제로 많은 다른 비밀값에 대해서 테스트해 보았다.

참고문헌

- [1] J.S.Coron, Resistance against Differential Power Analysis for Elliptic Curve Cryptosystems, *In Workshop on Cryptographic Hardware and Embedded Systems(CHES'99)*, LNCS 1717,(1999),292-302.
- [2] L.Goubin, A Refined Power-Analysis Attack on Elliptic Curve Cryptosystems, *Public Key Cryptography (PKC 2003)*, LNCS2567, (2003), 199-211.
- [3] M.Joye and J.Quisquater, Hessian elliptic curves and side-channel attacks, *In Workshop on Cryptographic Hardware and Embedded Systems(CHES'01)*, LNCS2162, (2001), 402-410.
- [4] M.Joye and C.Tymen, Protections against differential analysis for elliptic curve cryptography, *In Workshop on Cryptographic Hardware and Embedded Systems(CHES'01)*, LNCS2162, (2001),377-390.
- [5] N.Koblitz, Elliptic curve cryptosystems, *In Mathematics of Computation*, volume 48, (1987), 203-209.
- [6] P.Kocher, Timing attacks on implementations of Diffie-Hellman, RSA, DSS, and other systems, *In Advances in Cryptology- CRYPTO '96*, LNCS1109,(1996),104-113.
- [7] P.Kocher, J.Jaffe, and B.Jun, Differential power analysis, *In Advances in Cryptology- CRYPTO'99*, LNCS1666,(1999),388-397.
- [8] P.Liardet and N.Smart, Preventing SPA/DPA in ECC systems using the Jacobi form, *In Workshop on Cryptographic Hardware and Embedded Systems(CHES'01)*, LNCS2162, (2001), 391-401.
- [9] V.S.Miller, Use of elliptic curves in cryptography, *In Advances in Cryptology- CRYPTO '85*, LNCS218,(1986), 417-426.
- [10] F.Morain and J.Olivos, Speeding up the computation on an elliptic curve using addition-subtraction chains, *Inform Theory Appl.*, vol 24, (1990), 531-543.
- [11] K.Okeya, K.Sakurai, Power analysis breaks elliptic curve cryptosystems even secure against the timing attack, *Indocrypt 2000*, LNCS 1977, (2000),178-190.
- [12]K.Okeya, K.Sakurai, On Insecurity of the Side Channel Attack Countermeasure Using Addition-Subtraction Chains under Distinguishability between Addition and Doubling, *Information Security and Privacy (ACISP'02)*, LNCS2384, (2002),420-435.
- [13]K.Okeya, H.Kurumatani and K.Sakurai, Elliptic curves with the Montgomery form and their cryptographic applications, *Public Key Cryptography (PKC 2000)*, LNCS1751, (2000), 446-465.
- [14]E.Oswald, M.Aigner, Randomized Addition-Subtraction Chains as a Countermeasure against Power Attacks, *In Workshop on Cryptographic Hardware and Embedded Systems (CHES'01)*, LNCS2162, (2001),39-50.
- [15]C.D. Walter, Security Constraints on the Oswald-Aigner Exponentiation Algorithm, *Cryptology ePrint Archive*, Report 2003/013, (2003).<http://eprint.iacr.org/>.